

# مطالعه فراساختمان سلول‌های درگیر در روند ترمیم ضایعات استخوانی به دنبال کاشت ترکیب اکتاکلسیم فسفات (OCP) وماتریکس ژلاتینه استخوان (BMG) در استخوان پاریتال موش صحرایی

فریدون سرگلزایی اول (Ph.D.)<sup>+</sup> علیقلی سبحانی (Ph.D.)<sup>\*\*</sup>  
محمد رضا عرب (Ph.D.)<sup>\*\*\*</sup> غلامحسین سرگزئی (M.Sc.)<sup>\*\*\*\*</sup>

## چکیده

**سابقه و هدف:** این پژوهش به منظور مطالعه و شناسایی فراساختمان سلول‌هایی که ترمیم ضایعات ایجاد شده در استخوان آهیانه موش صحرایی را پس از کاشت ترکیب اکتاکلسیم فسفات و ژلاتین ماده‌ی زمینه‌ای استخوان برعهده دارند، طراحی و اجرا گردید.

**مواد و روش‌ها:** در این پژوهش، از ۱۶ سر موش صحرایی بالغ‌تر از نژاد اسپراگ داوولی استفاده گردید. سپس حیوانات به گونه تصادفی به دو گروه یکسان مورد و شاهد، تقسیم گشته و ضایعه‌ای به قطر پنج میلی متر بر روی استخوان آهیانه هر کدام از آن‌ها ایجاد گردید. در گروه مورد پنج میلی گرم از ترکیب اکتاکلسیم فسفات/ داربست ژلاتینه استخوان (Octacalcium phosphate/Bone matrix gelatin) به نسبت یک به چهار در محل ضایعه کاشته و به وسیله پوشش مخصوص کنترل خونریزی (surgicel) پوشانده شد. در گروه شاهد هیچ ماده‌ای در محل ضایعه کاشته نشد و فقط توسط (surgicel) پوشانده شد. حیوانات در طی روزهای هفتم و چهاردهم پس از عمل، کشته شده و نمونه‌های لازم برداشت گردید. نمونه‌ها پس از عمل ثبوت به وسیله روش‌های معمول بافت شناسی، آماده و از آن‌ها برش‌های نیمه نازک و نازک تهیه گردید و پس از انجام رنگ آمیزی به وسیله ذره بین‌های نوری و الکترونی، مورد مطالعه قرار گرفت.

**یافته‌ها:** مطالعه فراساختمان سلول‌های مسؤول روند ترمیم ضایعه در گروه مورد، مقدار اندکی سلول‌های غضروفی نابالغ ترشح شده را در مرکز ضایعه در روز هفتم پس از کاشت نشان داد. در روز چهاردهم پس از کاشت، سلول‌های نابالغ استخوانی فعال در مجاورت و نزدیک به حاشیه ضایعه دیده شد که نشان‌دهنده پیشرفت روند استخوان‌سازی در این گروه می‌باشد.

**استنتاج:** در گروه مورد، ضایعه ایجاد شده از راه استخوان سازی درون غشایی ترمیم یافت.

**واژه‌های کلیدی:** استئوبلاست، کندروبللاست، اکتاکلسیم فسفات، ماتریکس ژلاتینه استخوان، استخوان پاریتال

<sup>+</sup> زاهدان: میدان مشاهیر- دانشکده پزشکی- گروه علوم تشریحی  
<sup>\*\*\*</sup> دانشیار دانشگاه علوم پزشکی زاهدان، دانشکده پزشکی، گروه علوم تشریحی

\* استادیار دانشگاه علوم پزشکی زاهدان، دانشکده پزشکی، گروه علوم تشریحی  
<sup>\*\*</sup> دانشیار دانشگاه علوم پزشکی تهران، دانشکده پزشکی، گروه علوم تشریحی  
<sup>\*\*\*</sup> مربی دانشگاه علوم پزشکی زاهدان، دانشکده پیراپزشکی، گروه هوشبری

تاریخ تصویب: ۸۵/۴/۲۷

تاریخ دریافت: ۸۴/۸/۱۴ تاریخ ارجاع جهت اصلاحات: ۸۴/۱۲/۱۴

## مقدمه

گونه‌گون کلسیم فسفات، از چون اکتاکلسیم فسفات (OCP)، علاوه بر دارا بودن خاصیت هدایت استخوان‌سازی به عنوان حاملی برای انتقال عوامل استخوان‌ساز موجود در سایر مواد زنده مانند BMG نیز عمل می‌کنند (۱۱،۱۲،۱۳).

روند ترمیم ضایعات استخوانی در صورت استفاده از مواد جایگزین شونده‌ی پیوندهای استخوانی، علاوه بر این که به ماهیت ساختمانی و ویژگی‌های زیست‌شناختی استخوان میزبان بستگی دارد، به میزان قابل توجهی به نوع ماده کاشته شده در محل ضایعه نیز وابسته است (۱۴). گفته شده است که داربست استخوانی فاقد مواد معدنی (DBM)، با توجه به منشأ اولیه آن، پس از کاشت در محل ضایعات استخوانی از هر دو روش معمول استخوان‌سازی، آغاز به ترمیم ضایعه استخوانی می‌نماید. DBM تهیه شده از استخوان‌های دراز پس از کاشت در محل ضایعه استخوانی، باعث القاء تمایز سلول‌های مزانشیمی موجود در حاشیه ضایعه به سلول‌های غضروف‌ساز و در نهایت استخوان‌سازی درون غضروفی می‌گردد (۱۵). در صورتی که DBM تهیه شده از استخوان‌های پهن که دارای منشأ اولیه درون غشایی می‌باشد، پس از کاشت در محل ضایعه به گونه مستقیم باعث تکثیر و تمایز سلول‌های مزانشیمی متمایز نشده به سلول‌های استخوان‌ساز و در نهایت استخوان‌سازی درون غشایی می‌گردد (۱۶). از سوی دیگر گفته شده است که اکتاکلسیم فسفات (OCP) از نظر ویژگی‌های زیست‌شناختی همانند  $TGF\beta$  عمل کرده و با توجه به ویژگی‌های ساختمانی و زیست‌شناختی استخوان میزبان آغاز استخوان‌سازی و ترمیم ضایعه می‌کند (۱۷)؛ به گونه‌ای که اگر در محل ضایعه موجود در استخوان‌های دراز کاشته شود، سلول‌های مزانشیمی موجود در حاشیه ضایعه را به سلول غضروفی

امروزه در جراحی‌های فک، صورت، دهان، برای ترمیم نقص‌ها و یا پر کردن ضایعات بزرگ استخوانی که به واسطه ضربه‌ها، نئوپلازی‌ها و یا عفونت‌ها ایجاد می‌شوند، از پیوندهای استخوانی درون زاد (Autogen) و یا طیف وسیعی از مواد مصنوعی جایگزین شونده‌ی پیوندهای استخوانی استفاده می‌شود (۵-۱). از آن‌جا که استخوان‌ها، از نظر ظاهر مرئی و ذره‌بینی و سلول‌شناسی و نیز محتویات زیست-شیمیایی با یکدیگر تفاوت دارند، تکامل و ساخته شدن اولیه‌ی آن‌ها به دو روش درون غضروفی و درون غشایی انجام می‌گیرد (۶،۷). پیشرفت‌هایی که به تازگی در زمینه‌ی زیست‌شناسی سلول‌های استخوانی انجام گرفته، نشان می‌دهد که داربست خارج سلولی سلول‌های استخوانی، محتوی مواد القاء‌کننده و فعال‌کننده‌های رشدی می‌باشد، که عملکرد این سلول‌ها را در هنگام استخوان‌سازی و یا ترمیم ضایعات، تنظیم می‌نمایند (۹،۸).

با توجه به محدودیت استفاده از پیوندهای استخوانی، امروزه از موادی به عنوان جایگزین استفاده می‌شود که پس از کاشت در محل ضایعات استخوانی، باعث القاء تمایز سلول‌های مزانشیمی متمایز نشده موجود در محل ضایعه به سلول‌های غضروفی و یا سلول‌های استخوانی نابالغ و مآلاً ترمیم موفقیت‌آمیز نقایص می‌شوند (۵-۱). داربست استخوانی فاقد مواد معدنی (DBM) [Demineralized Matrix Bone]، ژلاتین ماده زمینه‌ای استخوان (BMG) [Bone Matrix Gelatin] و یا پروتئین القاکننده‌ی استخوان‌سازی [Bone Morphogenic Protein] (BMP) موجود در آنها، یکی از شایسته‌ترین این دسته از مواد می‌باشند که از یک قرن پیش به عنوان عامل هدایت‌کننده‌ی استخوان‌سازی مطرح گشته و از کاربرد بالینی گسترده‌ای برخوردار شده‌اند (۱۰،۳،۶). از سوی دیگر ترکیبات

نابالغ متمایز نموده و باعث ترمیم ضایعه از راه درون غضروفی می‌گردد و یا در صورت کاشت در محل ضایعه استخوان‌های پهن، سلول‌های مزانشیمی را مستقیماً به سلولی استخوانی نابالغ متمایز نموده و باعث استخوان‌سازی درون غشایی می‌شود (۱۸).

هدف از انجام این پژوهش، مطالعه و بررسی سلول‌های درگیر در روند استخوان‌سازی و نوع استخوان‌سازی انجام گرفته پس از کاشت ترکیب ژلاتین ماده زمینه‌ای استخوان و اکتاکلسیم فسفات (OCP/BMG) در محل ضایعات استخوان‌های پهن در موش صحرایی بود.

## مواد و روش‌ها

الف- طرز تهیه مواد:

اکتاکلسیم فسفات (OCP) و ژلاتین ماده زمینه‌ای استخوان (BMG) مورد استفاده در این پژوهش به ترتیب طبق روش‌های لجروس<sup>۱</sup> (۱۹۸۵) و اوریت<sup>۲</sup> (۱۹۷۳) آماده گردید (۲۰، ۱۹).

ب- حجم نمونه:

در این پژوهش، از شانزده سر موش صحرایی نر و بالغ (۶-۵ هفته‌ای) با وزن متوسط ۱۲۰ گرم و از نژاد Sprague Dawley استفاده شد. حیوانات به گونه تصادفی به دو گروه مورد (۸ سر) و شاهد (۸ سر) تقسیم و در شرایط استاندارد از نظر میزان نور، دما، رطوبت و تغذیه مناسب نگهداری شدند.

ج- نحوه عمل جراحی و کاشت مواد:

حیوان‌ها با استفاده از تزریق درون صفاقی کتامین هیدروکلراید (۶۰ میلی‌گرم به ازای هر کیلو گرم وزن) بی‌هوش شدند. ناحیه مورد نظر واقع در سطح فوقانی

کالواریا تراشیده و به وسیله بتادین ضد عفونی شد. پوست همراه با بافت‌های زیرین به صورت دو برش (Flap) کنار زده شد و ضریح استخوان خراشیده و برداشت گردید. با استفاده از مته دندان پزشکی ضایعه‌ای به وسعت ۵ میلی‌متر به صورت تمام ضخامت بر روی استخوان آهیانه ایجاد گردید. در گروه مورد، محل ضایعه پس از شست و شو با سرم نمکی سرد، به وسیله ۵ میلی‌گرم از ترکیب OCP/BMG به نسبت ۱/۴ پر گردید. برای جلوگیری از جا به جایی ذرات کاشت شده از پوشش مخصوص کنترل خون ریزی (Surgicel) استفاده شد. سپس بافت همبند و پوست به وسیله نخ جراحی قابل جذب بخیه گردید. در گروه شاهد، ضایعه‌ای ایجاد شده فقط شست و شو داده شد و به وسیله surgicel پوشیده گردید.

د- نمونه برداری و تهیه بافت جهت مطالعه میکروسکوپ نوری:

برای مطالعه ذره بین نوری، در طی روزهای هفتم و چهاردهم پس از عمل (از هر گروه دو سر)، حیوان‌ها به وسیله تزریق مجدد کتامین هیدروکلراید بی‌هوش شدند. سپس به وسیله خون رسانی (Perfusion) از راه قلب، ماده تثبیت کننده (پارافرمالین ۴ درصد در فسفات بافر نمکی (PBS) pH= 7/4) وارد بدن حیوان شده و به صورت در جا (insitu) عمل تثبیت انجام گرفت. ناحیه مورد نظر همراه با اندکی از استخوان میزبان برداشت و برای تثبیت بیشتر به مدت ۲۴ ساعت در تثبیت کننده فوق و در حرارت ۴ درجه سانتیگراد قرار داده شد. نمونه‌های برداشت شده توسط محلول اسید فرمیک ۱۰ درصد، اسیدسیتریک ۲/۹ درصد و تری‌سدیم سیترات ۱/۸ درصد و به مدت دو هفته و در حرارت محیط کلسیم‌گیری شدند (۱۷). طبق روش‌های معمول، آماده‌سازی بافتی انجام

1. Legeros  
2. Urist

و برش‌های بسیار نازک (Ultrathin) به ضخامت ۷۰-۵۰ نانومتر تهیه و بر روی گریدهای مسی قرارداد شده‌اند. مقاطع به دست آمده به وسیله اورانیل استات و سیترات سرب رنگ‌آمیزی گردید و با استفاده از ذره بین الکترونی ترانس‌میشن مدل Hitachi H-700 مورد مطالعه و تصاویر ذره بین نوری لازم گرفته شد.

### یافته‌ها

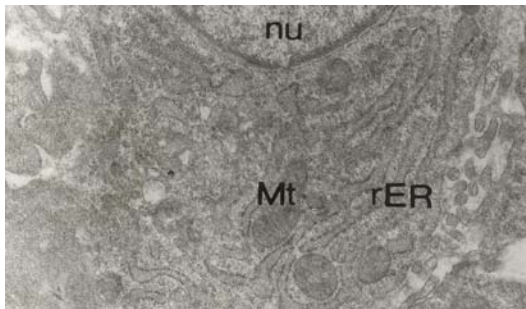
در گروه شاهد: در روز چهاردهم پس از عمل محل ضایعه به وسیله بافت همبند سست اشغال شده و تعداد معدودی سلولی استخوانی به صورت پراکنده در حاشیه ضایعه مشاهده گردید (تصویر شماره ۱).

در گروه مورد: روز هفتم پس از عمل، مواد کاشته شده به وسیله بافت همبند غنی از سلول‌های دوکی و مدور تک هسته‌ای و به صورت پراکنده با سلول‌های غول پیکر (giant) چند هسته‌ای در بر گرفته شده‌اند. شماری از این سلول‌ها که دارای ویژگی‌های سلول استخوانی نابالغ و یا سلول غضروفی نابالغ می‌باشند، به درون قطعات کاشته شده به ویژه BMG نفوذ کردند. از این روز روند ترمیم ضایعه با ظهور مقادیر اندک بافت غضروفی آغاز گردید (تصویر شماره ۲). در تصاویر کوچک الکترونی، دسته‌ای از شبه سلول‌های استخوانی به اشکال گونه‌گون به همراه سلول‌های غول پیکر چند هسته‌ای که دارای هسته‌های متعدد و به اشکال و ابعاد گونه‌گون می‌باشند، در کنار قطعات ژلاتین ماده زمینه‌ای استخوان (BMG) مشاهده می‌شوند. شبه سلول‌های استخوانی که در نزدیکی قطعات BMG قرار دارند، در حال ترشح ماده زمینه‌ای می‌باشند که به صورت لایه نازکی بر روی قطعات BMG جمع شدند (تصویر شماره ۳). شبه سلول استخوانی فعال دارای شبکه اندوپلاسمی خشن وسیع و میتوکندری فراوان می‌باشد که نشان دهنده ساخت فعال ماده زمینه‌ای استخوان است (تصویر شماره ۴).

و از قالب‌های به دست آمده مقاطع ۵ میکرونی تهیه گردید. مقاطع پس از رنگ‌آمیزی به وسیله H&E توسط ذره بین نوری Olympus مدل BX 41 مورد مطالعه و عکس‌برداری قرار گرفتند.

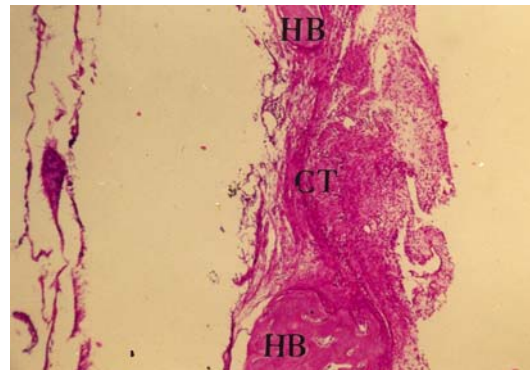
ه- نمونه‌برداری و تهیه بافت برای مطالعه ذره بین الکترونی:

برای مطالعه ذره بین الکترونی ترانس‌میشن (TEM)، در طی روزهای هفتم و چهاردهم پس از عمل (از هر گروه دو سر)، حیوان‌ها به وسیله تزریق دوباره کتامین هیدروکلراید بی‌هوش شدند. سپس به وسیله خون رسانی از راه قلب، ماده تثبیت کننده (پارافمالدئید ۲ درصد و گلوتارالدئید ۲ درصد در بافر کاکودیلیت ۰/۱ مولار، pH=7/4) وارد بدن حیوان شده و به صورت در جا (insitu) عمل ثبوت انجام گرفت. تکه‌ای از ناحیه مورد نظر همراه با اندکی از استخوان میزبان به اندازه ۳ میلی‌متر برداشت و برای ثبوت بهتر، به مدت ۲ ساعت در تثبیت کننده فوق و در حرارت ۴ درجه سانتیگراد قرار داده شدند. نمونه‌های برداشت شده به مدت دو هفته و در دمای ۴ درجه سانتیگراد توسط محلول ۵ درصد EDTA در بافر کاکودیلیت ۰/۱ مولار، کلسیم‌گیری شدند. پس از شست و شو به وسیله بافر پیشگفت، نمونه‌ها با استفاده از محلول ۲ درصد تتروکسید اسمیوم (OSO<sub>4</sub>) به مدت یک ساعت و در دمای ۴ درجه سانتیگراد ثبوت ثانویه شدند. پس از شست و شوی دوباره، با استفاده از درجات بالارونده الکل اتیلیک آبگیری و به وسیله EPON 812 قالب‌گیری شدند. از بلوک‌های به دست آمده پس از تراش خوردن، به وسیله دستگاه اولترامیکروتوم برش‌های نیمه نازک (Semithin) به ضخامت ۶۰۰-۴۰۰ نانومتر تهیه و با تولوئیدین بلو رنگ‌آمیزی گردیدند. پس از مطالعه مقاطع نیمه نازک و انتخاب جایگاه مناسب، نمونه‌ها دوباره تراش خورده

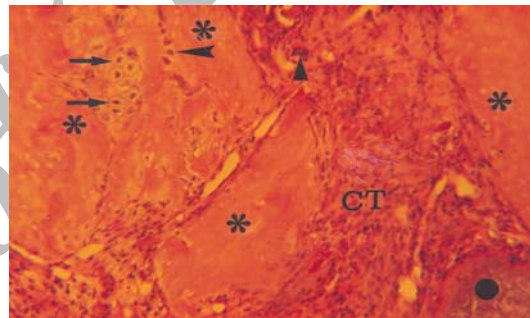


تصویر شماره ۴: تصاویر ذره بینی الکترونی گروه مورد در روز ۷- نمائی از تصویر شماره ۳ با بزرگ نمائی بیش تر که ساختمان شبه سلول استخوانی را نشان می‌دهد. سیتوپلاسم سلول محتوی شبکه اندوپلاسمی خشن (rER) وسیع با میتوکندری‌های (Mt) متعددی باشد که نشاندهنده شدت فعالیت این سلول است. رنگ آمیزی اورانیل استات. بزرگ نمایی ۱۲۰۰۰×.

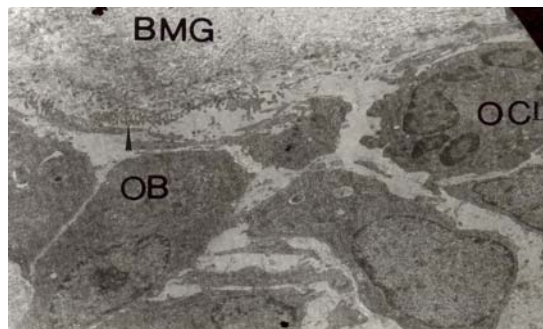
در این روز چهاردهم پس از عمل، استخوان سازی جدید، کاملاً آشکار می‌باشد که به صورت درجا و در بین مواد کاشته شده و نزدیک به حاشیه ضایعه انجام گرفت (تصویر شماره ۵). سلول‌های نابالغ استخوانی در ردیف‌های منظم بر روی تیغه‌های استخوانی جدید استقرار یافتند (تصویر شماره ۶). سلول‌های غول پیکر چند هسته‌ای که دارای خصوصیتی شبیه به سلول استخوان خوار می‌باشند، به صورت پراکنده در درون بافت همبند و چسبیده به قطعات BMG (تصویر شماره ۷) و یا OCP (تصویر شماره ۸) قرار گرفته و در حال جذب و برداشت مواد کاشت شده می‌باشند. تصاویر ذره بینی الکترونی در این روز سلول‌های نابالغ استخوانی تیپیک را به صورت ردیفی بر روی حاشیه بافت استخوانی جدید نشان می‌دهد. این سلول‌ها مکعبی شکل بوده و دارای دستگاه گلژی وسیع، شبکه اندوپلاسمی خشن و گسترش یافته و شماری میتوکندری به صورت پراکنده می‌باشند، که نشان دهنده ساخت فعال ماده زمینه‌ای استخوان است (تصویر شماره ۹). در این روز در ضخامت داربست استخوانی جدید که پر از الیاف ضخیم کلاژن در جهات مختلف و کریستال‌های معدنی می‌باشد، سلول استخوانی تیپیک و کشیده دیده می‌شود. هسته



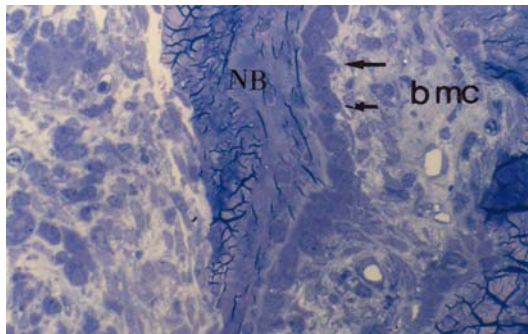
تصویر شماره ۱: نمونه گروه شاهد در روز ۱۴ - ضایعه ایجاد شده بوسیله بافت همبند (CT) اشغال گشته و هیچگونه استخوان سازی جدید در مجاورت استخوان میزبان (HB) مشاهده نمی‌شود. رنگ آمیزی H&E. بزرگ نمائی ۶۳×.



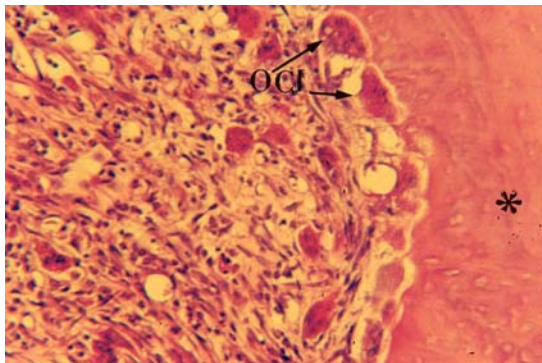
تصویر شماره ۲: نمونه گروه مورد در روز ۷- در ضخامت قطعات BMG ( ) سلول‌های غضروفی (پیکان) مشاهده می‌شود. در درون بافت همبند (CT) سلول‌های تک هسته‌ای در اطراف مواد کاشت شده (● و ○) مشاهده می‌شوند که تعدادی از آنها بدون قطعات BMG (نوک پیکان بلند) نفوذ کرده‌اند. رنگ آمیزی H&E. بزرگ- نمائی ۱۶۰×.



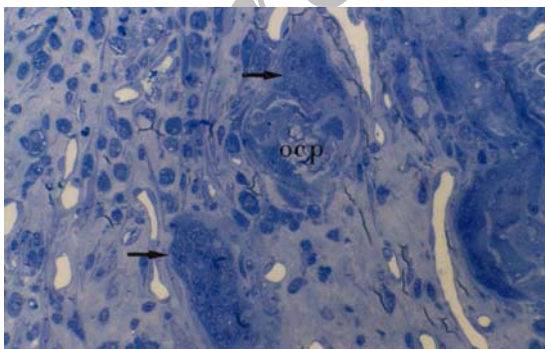
تصویر شماره ۳: تصاویر ذره بینی الکترونی گروه مورد در روز ۷- شبه سلول‌های استخوانی (OB) و سلول غول پیکر چند هسته‌ای شبه سلول استخوان خوار (OCL) در مجاورت قطعات BMG مشاهده می‌شوند. دادبست ترشح شده (نوک پیکان) توسط شبه سلول‌های استخوانی بر روی قطعات BMG تجمع یافته‌اند. رنگ آمیزی اورانیل استات. بزرگ نمایی ۳۰۰۰×.



تصویر شماره ۶: نمونه گروه مورد در روز ۱۴- سلول های نابالغ استخوان (پیکان) به صورت ردیفی و منظم در مجاورت و چسبیده به استخوان جدید (NB) استقرار یافته و حفره مغز استخوان (bmc) نیز شکل گرفته است. رنگ آمیزی تولوئیدین بلو. بزرگ نمایی  $\times 400$ .

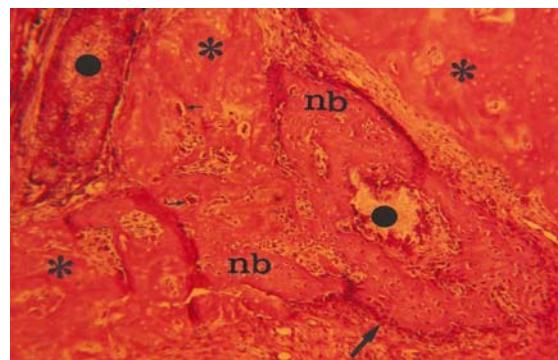


تصویر شماره ۷: نمونه گروه مورد در روز ۱۴- سلول های غول پیکر چند هسته ای شبه استخوان خوار (OCL) که به وفور در بافت همبند و چسبیده به قطعه BMG ( ) قرار داشته و در حال جذب آن می باشند. رنگ آمیزی H&E. بزرگ نمایی  $\times 400$ .

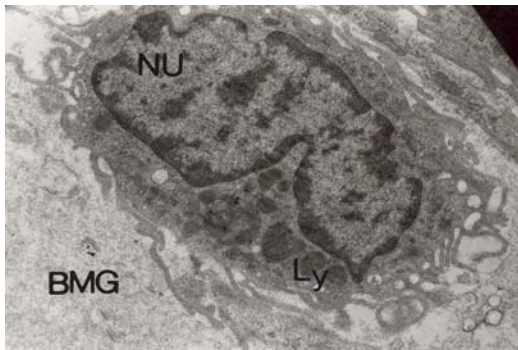


تصویر شماره ۸: نمونه گروه مورد در روز ۱۴- سلول های غول پیکر چند هسته ای شبه استخوان خوار (پیکان) در درون بافت همبند و چسبیده به قطعه OCP مشاهده می شود که در حال جذب و برداشت OCP می باشد. رنگ آمیزی تولوئیدین بلو. بزرگ نمایی  $\times 400$ .

سلول در یک قطب آن واقع شده و در قطب دیگر سلول، سیتوپلاسم قرار دارد که محتوی شبکه اندوپلاسمی تحلیل رفته و تعدادی میتوکندری می باشد. به نظر می رسد که این سلول یک سلول استخوانی اولیه و یا مرحله نهایی یک سلول نابالغ باشد که در بین ماده زمینه ای خود ساخته محصور شده و فعالیت ترشحی آن کاهش یافته است (تصویر شماره ۱۰). در تصاویر ذره بین الکترونی در این روز شبه سلول های استخوان خوار دیده می شود که دارای چندین هسته بوده و سیتوپلاسم آن ها محتوی شماری میتوکندری و واکوئول های فراوان و به اندازه های مختلف می باشد. این سلول ها از طرف ناحیه شفاف، به ماده کاشت شده چسبیده و کناره ناهموار (Ruffled border) آن ها به داخل حفرات جذب شده، نفوذ کرد (تصویر شماره ۱۱). شماری بیگانه خوار نیز در مجاورت ماده کاشته شده، دیده می شوند که در حال جذب نواحی آهکی نشده قطعات BMG می باشند. هسته بیگانه خوارها، بی شکل بوده و دارای زائده های کوتاهی است. سیتوپلاسم آنها به رنگ تیره بوده و محتوی تعداد معدودی واکوئول و لیزوزوم می باشد (تصویر شماره ۱۲).



تصویر شماره ۵: نمونه گروه مورد در روز ۱۴- استخوان سازی جدید در بین مواد کاشت شده (● و ○) قابل رویت است. استخوان جدید به وسیله سلول های نابالغ استخوان (پیکان بلند) به صورت ردیفی احاطه شده و جا به جا سلول غول پیکر چند هسته ای (پیکان کوچک) در بین مواد کاشت شده دیده می شود. رنگ آمیزی H&E. بزرگ نمایی  $\times 100$ .

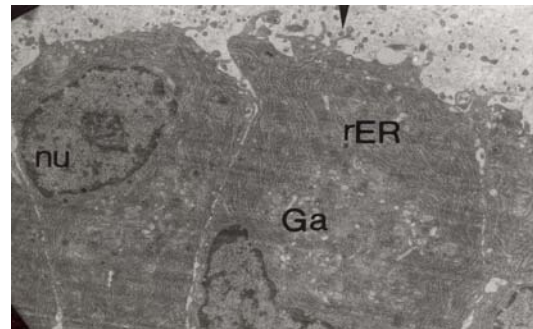


تصویر شماره ۱۲: تصاویر ذره بین الکترونی گروه مورد در روز ۱۴- سلول ماکروفاژ در حال جذب قطعات به جا مانده BMG مشاهده می‌شود. هسته سلول (NU) بی‌شکل و نامنظم بوده و سیتوپلاسم آن محتوی لیزوزوم (Ly) و واکوئول‌های فراوانی است. رنگ آمیزی اورانیل استات. بزرگ نمایی ۷۰۰۰x.

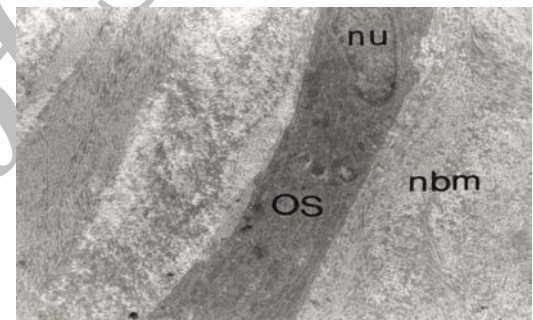
## بحث

در این پژوهش روزهای هفتم و چهاردهم پس از کاشت برای بررسی چگونگی ترمیم ضایعه ایجاد شده و مطالعه سلول‌های درگیر در روند استخوان‌سازی انتخاب گردید. ملاک انتخاب روزهای هفتم و چهاردهم به این دلیل بود که روز هفتم بهترین زمان نمونه‌برداری برای مطالعه بافت غضروفی ایجاد شده، بدون حضور بافت استخوانی می‌باشد و امکان مطالعه سلول‌های غضروفی نابالغ را در صورت وجود در محل ضایعه، فراهم می‌نماید و روز چهاردهم بهترین زمان نمونه‌برداری برای بررسی روند ایجاد بافت استخوانی جدید در محل ضایعه و مطالعه سلول‌های استخوانی نابالغ می‌باشد (۱۵). بنابراین، دو مقطع زمانی، بهترین دوره برای مطالعه هر دو روش، معمول استخوان‌سازی در طی ترمیم ضایعات استخوانی است.

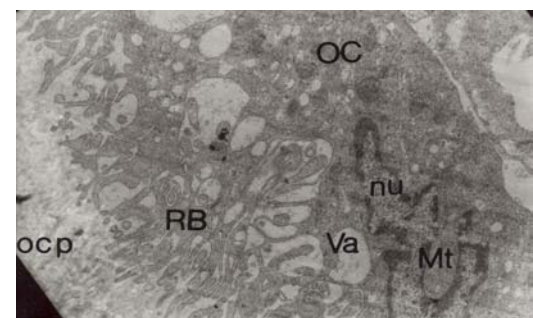
براساس یافته‌های حاصل از این پژوهش مشخص گردید که روند ترمیم ضایعه استخوانی ایجاد شده در استخوان آهیانه با ظهور مقادیر اندک بافت غضروفی آغاز گردید "بافت غضروفی همراه با سلول‌های غضروفی به طور محدود در قسمت‌های مرکزی ضایعه و در بین قطعات کاشت شده BMG در روز هفتم پس از



تصویر شماره ۹: تصاویر ذره بین الکترونی گروه مورد در روز ۱۴- استخوان نابالغ مترشح در مجاورت داربست جدید ساخته شده، نشان داده شده است. سلول و هسته آن (nu) به اشکال مختلف بوده و سیتوپلاسم آن محتوی شبکه اندوپلاسمی خشن و وسیع (rER) و دستگاه گلژی (GA) مشخصی است که به طور فعال در حال ترشح ماده زمینه ای استخوان (نوک پیکان) می‌باشد. رنگ آمیزی اورانیل استات. بزرگ نمایی ۴۴۰۰x.



تصویر شماره ۱۰: تصاویر ذره بین الکترونی گروه مورد در روز ۱۴- سلول استخوانی (OS) که به صورت کشیده در درون داربست استخوانی جدید (nbm) ساخته شده محصور شده است. هسته سلول (nu) در یک قطب آن قرار گرفته است. رنگ آمیزی اورانیل استات. بزرگ نمایی ۴۴۰۰x.



تصویر شماره ۱۱: تصاویر ذره بین الکترونی گروه مورد در روز ۱۴- شبه سلول استخوان خوار (OC) در مجاورت ماده کاشته شده مشاهده می‌شود. سیتوپلاسم سلول محتوی میتوکندری (Mt) و واکوئول‌های متعدد (Va) بوده و به وسیله کنار ناصاف (RB) در حال جذب OCP می‌باشد. رنگ آمیزی اورانیل استات. بزرگ نمایی ۷۰۰۰x.

شامه‌ای میانی ایجاد گردید، احتمالاً تغذیه خونی مناسب و افزایش میزان اکسیژن در این ناحیه، به تمایز بیش تر سلول‌های استخوان‌ساز کمک نموده و باعث شد که در طی روند ترمیم بافت استخوانی جدید عمدتاً در محیط ضایعه و به روش درون‌غشایی ساخته شود.

از سوی دیگر، یافته‌های حاصل از این پژوهش، نشان داد که سلول‌های غول‌پیکر چند هسته‌ای همزمان با ظهور سلول‌های درگیر در روند استخوان‌سازی، در درون ضایعه و چسبیده به مواد کاشته شده دیده می‌شوند. در این ارتباط یاماشیتا<sup>۲</sup> و همکارانش (۱۹۹۴) این فرضیه را مطرح کردند که سلول‌های غول‌پیکر چند هسته‌ای که در ابتدا در درون ضایعه پدیدار می‌شوند، آغاز به جذب ماده کاشته شد. "BMG" نامیده و پس از آن باعث فعال‌شدن روند تمایز سلول‌های استخوان‌ساز در محل ضایعه و استخوان‌سازی جدید می‌شوند (۲۲). از طرف دیگر مشاهده گردید که OCP کاشته شده نیز به وسیله سلول‌های غول‌پیکر چند هسته‌ای که دارای ویژگی‌هایی شبیه به سلول‌های استخوان‌خوار می‌باشند، در بر گرفته شده و ضمن کمک به القاء استخوان‌سازی، به تدریج توسط این سلول‌ها جذب و برداشت می‌شوند. پیشنهاد گردید قطعات OCP موجود در درون بافت همبند، خیلی زودتر از قطعات محصور شده در ضخامت استخوان جدید ساخته شده، جذب و برداشت می‌شوند. باقی ماندن بیش‌تر قطعات OCP در ضخامت بافت استخوانی جدید می‌تواند ضمن جذب تدریجی، بافت استخوانی بیش‌تری را به وجود آورد (۲۳، ۲۴).

نتایج حاصل از مطالعه بافت‌شناسی و ذره بین الکترونی سلول‌های درگیر در روند استخوان‌سازی در این پژوهش نشان داد که ترمیم نقایص ایجاد شده در استخوان آهیانه، پس از استفاده از ترکیب OCP/BMG از راه استخوان‌سازی درون‌غشایی انجام می‌شود.

کاشت مشاهده گردید. بافت غضروفی ایجاد شده خیلی زود به وسیله سلول‌های استخوانی نابالغ و بافت استخوانی جدید جایگزین گردید؛ به طوری که در روز چهاردهم پس از کاشت، اثری از بافت غضروفی در محل ضایعه دیده نشد و محل ضایعه عمدتاً به وسیله بافت استخوانی جدید اشغال شد. در این رابطه و بر اساس نتایج ذره بین نوری و الکترونی می‌توان ادعا کرد که ترکیب OCP/BMG باعث القاء استخوان‌سازی جدید به روش درون‌غشایی می‌شود. گرچه روند ترمیم، با ظهور بافت غضروفی آغاز شد، اما حجم غضروف ساخته شده، اندک بوده و نمی‌تواند تاثیری در روند استخوان‌سازی داشته باشد. در این ارتباط گفته شد که مقدار اندکی بافت غضروفی ایجاد شده در نقایص ناحیه جمجمه‌ای، پیش از آن که تاثیری در روند استخوان‌سازی و ایجاد بافت استخوانی جدید داشته باشد، به وسیله سلول‌های غول‌پیکر چند هسته‌ای جذب و برداشت می‌شود (۸). از سوی دیگر، در این پژوهش دیده نشد که بافت غضروفی در قسمت‌های مرکزی ضایعه باشد و بافت استخوانی جدید در ابتدا، بیشتر در موقعیت‌های محیطی و نزدیک به حاشیه ضایعه، القاء و ساخته شد که همخوان با نتایج حاصل از مطالعات ونگ و همکارانش (۱۹۹۹) می‌باشد (۹، ۸). در توجیه این مسأله گفته شد که در مراحل اولیه‌ی روند ترمیم در ضایعات ناحیه جمجمه‌ای، عروق خونی از حاشیه ضایعه، شروع به تهاجم به درون آن نموده و بنابراین نسبت به قسمت‌های مرکزی ضایعه از تغذیه خونی بیش‌تری برخوردار می‌باشند. از این رو در مکان‌هایی که غنی از عروق خونی و سرشار از اکسیژن هستند، اولویت با تمایز سلول‌های استخوان‌ساز بوده و در پی استخوان‌سازی درون‌غشایی می‌باشند و مکان‌هایی که با کمبود عروق خونی و میزان اکسیژن مواجه هستند، عمل غضروف‌سازی القاء می‌گردد (۲۱، ۲۲). بنابراین با توجه به این که در این پژوهش، ضایعه درست بر روی محل عبور شریان



## فهرست منابع

1. Rosiris D, Marcos B, Abrao R, Maria A. Induction of osteogenesis by demineralized homologous and xenograft bone matrix. *Acta Cirurgica Brasileira*. 2003; 18(3): 178-182.
2. Nelson L, Matuda F, Macedo L, Gonzalez M.B. Bone defect regeneration with bioactive glass implantation in rat. *J. Appl. Oral Sci*. 2004; 12(2): 137-143.
3. Yamashita K, Tagaki T: Ultrastructural observation of calcification preceding new bone formation induced by demineralized bone matrix gelatin. *Acta Anat*. 1992; 143: 261-267.
4. Perssok PE, Sisask G, Nilsson O: Indomethacin inhibits bone formation in inductive allografts but not in autografts: Studies in rat. *Acta Orthop*. 2005; 76(4): 465-9.
5. Losee JE, Karmacharya J, Gannon FH, Slemp AE, Ong G. Reconstruction of the immature craniofacial skeleton with a carbonated calcium phosphate bone cement: interaction with bioresorbable mesh. *J. Craniofac. Surg*. 2003; 14(1): 117-124.
6. Vehof JW, Takita H, Kuboki Y, Spauwen PH, Jansen JA. Histological characterization of the early stages of bone morphogenetic protein-induced osteogenesis: *J. Biomed. Mater. Res*. 2002; 61(3): 440-449.
7. Reddi AH, Weintraub S, Muthumaran N: Biologic principles of bone induction. *Orthop. Clin. North Am*, 1987; 18: 207-212.
8. Wang J, Glimcher MJ: Characterization of matrix-induced osteogenesis in rat calvarial bone defects: I. Differences in the cellular response to demineralized bone matrix implanted in calvarial defects and in subcutaneous sites. *Calcif. Tissue Int*, 1999; 65: 156-165.
9. Wang J, Glimcher MJ: Characterization of matrix-induced osteogenesis in rat calvarial bone defects: II. Origins of bone forming cells. *Calcif. Tissue Int*, 1999; 65: 486-493.
10. Peterson B, Whang PG, Iglesias R, Wang JC. Osteoinductivity of commercially available demineralized bone matrix. Preparation in a spine fusion model. *J. Bone Joint Surg. Am*. 2004; 86(10): 2243-50.
11. Habibovic P, Van der Valk CM, De Groot K, Meijer G. Influence of octacalcium phosphate coating on osteoinductive properties of biomaterials. *J. Mater. Sci. Mater. Med*. 2004; 15(4): 373-380.
12. Suzuki O, Kamakura S, Katagiri T, Nakamura M, Zhao B. Bone formation enhanced by implanted octacalcium phosphate involving conversion into calcium-deficient hydroxyapatite. *Biomaterials*. 2006; 27(13): 2671-81

13. Sargolzaei Aval F, Sobhani A, Arab MR, Sarani SA, et al: The efficacy of implant of octacalcium phosphate in combination with bone matrix gelatin on bone regeneration in skull defects in rat. *Iran J. Med. Sci*, 2004; 29(3): 124-129
14. Scott Ck, James A. H, The matrix of endochondral bone differs from the matrix of intramembranous bone. *Calcif. Tissue Int*, 1991; 49: 349-354.
15. Rabie A.b.M, Lie Ken Jie R.K.P: Integration of endochondral bone grafts in the presence of demineralized bon matrix (DBM). *Int. J. Oral Maxillofac. Surg*, 1996; 25: 311-318.
16. Scott Ck, James A. H: Intramembranous bone matrix is osteoinductive. *Anat. Rec*, 1994; 238: 23-30.
17. Suzuki O, Nakamura M, miyasakay, Kagayama M: Maclura pomifera agglutinin-binding glycoconjugate on converted apatite from synthetic octacalcium phosphate implanted into subperiosteal region of mouse calvaria. *Bone and Mineral*, 1993; 20: 151-166.
18. Sasano Y, Kamakura S, Nakamura M, Suzuki O: Subperiosteal implantation of octacalcium phosphate (OCP) stimulates both chondrogenesis and osteogenesis in the tibia, but only osteogenesis in the parietal bone of a rat. *Anat. Rec*, 1995; 242: 40-46.
19. Legeros RZ: Preparation of octacalcium phosphate (OCP): A direct fast method. *Calcif. Tissue Int*, 1985; 37: 194-197.
20. Urist MR, Iwata H: Bone morphogenesis in implants of insoluble bone gelatin. *Proc. Natl. Acad. Sic. USA*, 1973; 70: 3511-3515.
21. Okamoto Y, Horisaka Y, Yamashita K, Takagi T: Muscle tissue reaction to implantation of bone matrix gelatin. *Clin. Orthop. Rel. Res*, 1991; 263: 242-252.
22. Yamashita K, Kuwahara M, Ishizuki H. Effect of 1-hydroxyethane-1, 1-diphosphonic acid (HEDP) on new bone formation induced by bone matrix gelatin (BMG). *Acta Histochem. (Jena)*, 1994; 96: 181-195.
23. Kawaguchi H, Ogata T, Shirakawa M, Okamoto H: Ultrastructural and ultracytochemical characteristics of multinucleated cells after hydroxyapatite implantation into rat periodontal tissue. *J. Periodont. Res*, 1992; 27: 48-54.
24. Kamakura S, Sasano Y, Ohki H, Nakamura M. Multinucleated giant cells recruited by implantation of octacalcium phosphate (OCP) in rat bone marrow share ultrastructural characteristics with osteoclasts. *J. Of Electron Microscopy*, 1997; 46(5): 397-403. *Clinic. Orthop.* 1998; 355: 66-72.